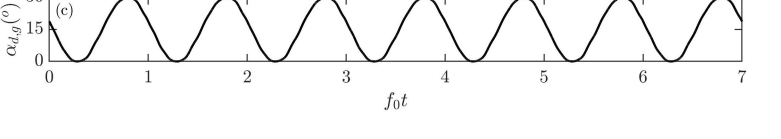
#### Bruit d'un profil NACA633418 oscillant

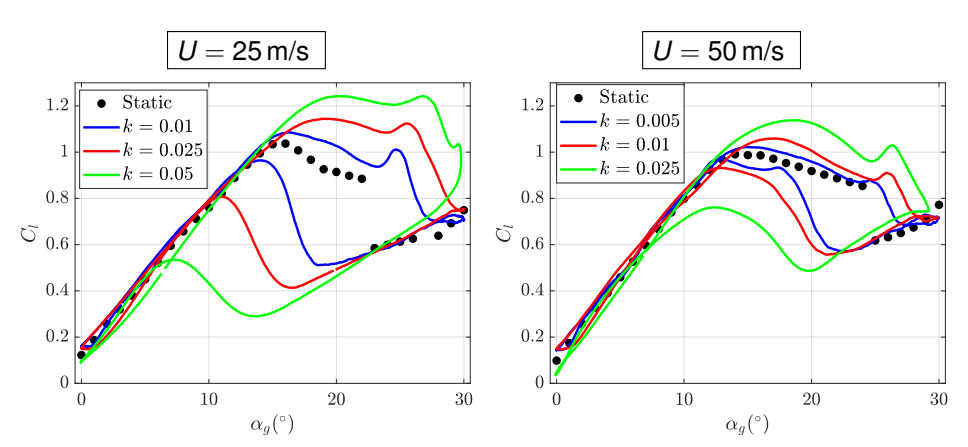
$$U = 50 \text{ m/s} - k = \frac{\pi f_0 c}{U} = 0.01 - \alpha_0 = \alpha_A = 15^{\circ}$$

$$\frac{60 \text{ (BP)}}{40 \text{ (AS)}} \frac{60 \text{ (BP)}}{40 \text{ (BO)}} \frac{60 \text{ (BP)}}{40 \text{ (BP)}} \frac{60 \text{ (BP)}}{40 \text$$



Periodic variations of the noise, in-phase with the angle of attack variations

# Coefficient de portance moyenné en phase

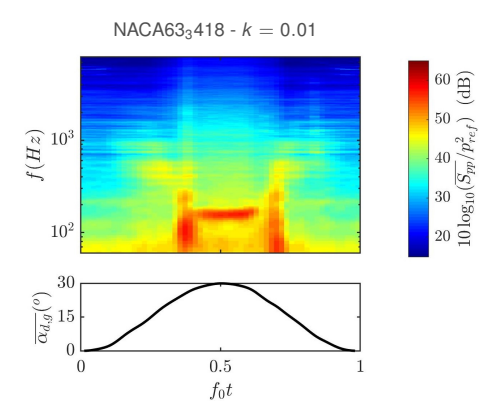


#### Effect of the reduced frequency:

- quasi-static regime for k ≤ 0.01
- dynamic regime for  $k \ge 0.05$

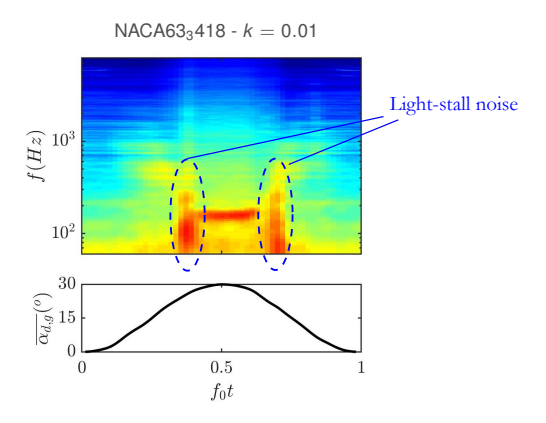
# Spectrogramme du bruit moyenné en phase

#### Case with tripping at $U = 50 \,\text{m/s}$



## Spectrogramme du bruit moyenné en phase

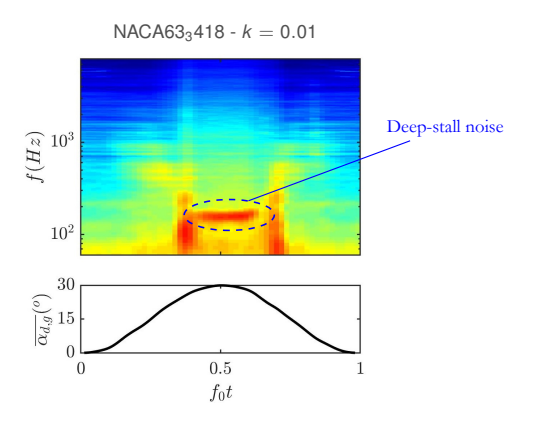
Case with tripping at  $U = 50 \,\mathrm{m/s}$ 



• Similar light-stall noises at stall onset and flow reattachment.

### Phase-averaged spectrogram over 90 cycles

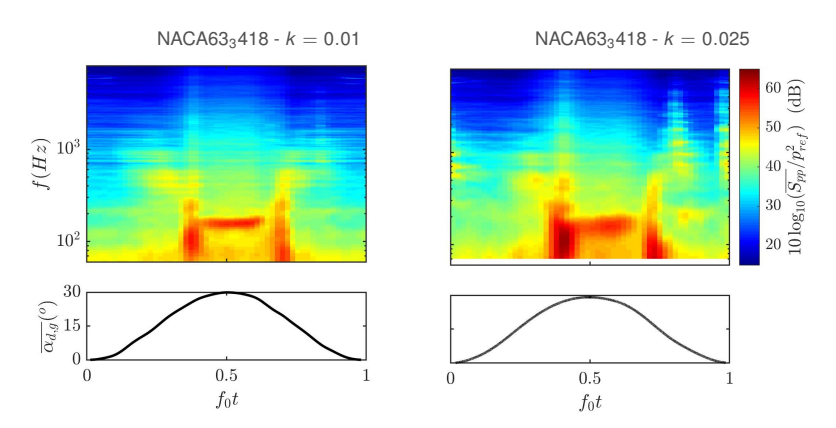
Case with tripping at U = 50 m/s



- Similar **light-stall noises** at stall onset and flow reattachment.
- Deep-stall noise in between.

# Effet de la fréquence réduite

#### Case with tripping at $U = 50 \,\mathrm{m/s}$



Increase of the amplitude of the stall onset broadband noise

#### Conclusion et perspectives

#### Conclusion:

Une importante base de données expérimentale a été collectée pour caractériser le bruit de décollement et de décrochage d'un profil d'aile en régimes statique et dynamique :

- 2 profils d'aile instrumentés de prises de pression pariétale
- 3 nombres de Reynolds
- plusieurs taux de turbulence amont
- mesures synchronisées de l'écoulement (PIV résolu en temps) et du bruit

Une partie de la base de données est d'ores et déjà disponible en libre accès sur Zenodo: 10.5281/zenodo: 10638881

#### Perspectives:

- Identification des structures turbulentes et modélisation du bruit de décrochage
- Analyse des mesures in situ pour détecter les modulations d'amplitude associées au décrochage dynamique